

*На правах рукописи*

**Тереничева Мария Алексеевна**

**Анализ взаимосвязи особенностей структурных изменений миокарда у больных с острым инфарктом миокарда с подъемом сегмента ST по данным контрастной магнитно-резонансной томографии с течением и прогнозом заболевания по результатам проспективного наблюдения**

14.01.05 – Кардиология

14.01.13 – Лучевая диагностика, лучевая терапия

**АВТОРЕФЕРАТ**

диссертации на соискание ученой степени

кандидата медицинских наук

Москва, 2022 г.

Работа выполнена в НИИ клинической кардиологии им. А.Л. Мясникова Федерального государственного бюджетного учреждения «Национальный медицинский исследовательский центр кардиологии»

**Научные руководители:**

Доктор медицинских наук

**Шахнович Роман Михайлович**

Кандидат медицинских наук

**Стукалова Ольга Владимировна**

**Официальные оппоненты:**

Орлова Яна Артуровна – доктор медицинских наук, руководитель отдела возраст-ассоциированных заболеваний МНОЦ МГУ имени М.В. Ломоносова

Усов Владимир Юрьевич – доктор медицинских наук, профессор, руководитель отделения рентгеновских и томографических методов диагностики НИИ кардиологии Томского НИМЦ РАН

**Ведущая организация:**

Федеральное государственное автономное образовательное учреждение высшего образования Первый Московский государственный медицинский университет имени И.М. Сеченова Министерства здравоохранения Российской Федерации (Сеченовский Университет).

Защита диссертации состоится « \_\_\_ » \_\_\_\_\_ 2022 года в \_\_\_\_\_ часов на заседании диссертационного совета Д 208.073.05 по присуждению ученой степени кандидата медицинских наук Федерального государственного бюджетного учреждения «Национальный медицинский исследовательский центр кардиологии» Министерства здравоохранения Российской Федерации по адресу: 121552, г. Москва, ул. 3-я Черепковская, д. 15А

С диссертацией можно ознакомиться в библиотеке Федерального государственного бюджетного учреждения «Национальный медицинский исследовательский центр кардиологии» Министерства здравоохранения Российской Федерации (121552, г. Москва ул. 3-я Черепковская, д.15А) и на сайте <https://cardioweb.ru>

Автореферат разослан « \_\_\_ » \_\_\_\_\_ 2022 года

Ученый секретарь диссертационного совета,

доктор медицинских наук

**Ускач Татьяна Марковна**

## Введение

После развития инфаркта миокарда (ИМ) закономерно происходят процессы, заключающиеся в нарушении сократительной способности поврежденного участка сердечной мышцы, в той или иной степени меняется форма левого желудочка вплоть до образования аневризмы. Процессы изменения формы/геометрии сердца после ИМ принято называть патологическим ремоделированием (ПР). От того, насколько выражены процессы ПР в значительной степени зависит качество жизни, вероятность развития сердечной недостаточности и, в конечном итоге, прогноз заболевания. Традиционно ПР оценивают с помощью трансторакальной эхокардиографии (ЭХО-КГ), с помощью которой визуализируют прежде всего объем инфарктной ткани, форму этого участка, степень и особенности нарушения сократительной функции. Возможности ЭХО-КГ для оценки структуры формирующегося рубца и, тем более, перфузии, ограничены.

В последние годы в клинической кардиологии все чаще используют магнитно-резонансную томографию (МРТ), выполненную в различных режимах, включая исследования с контрастным усилением. Большое значение в диагностике и дифференциальной диагностике инфаркта миокарда отводится МРТ сердца в четвертом Универсальном определении инфаркта миокарда. Современные возможности МРТ позволяют изучать объем, локализацию поражения, вовлечение правого желудочка, наличие и выраженность микрососудистой обструкции (МСО), возможно выявление жизнеспособного миокарда. По данным морфологических исследований известно, что формирующаяся рубцовая ткань после ИМ не является однородно поврежденной субстанцией, а довольно часто представляет собой мозаичную структуру с участками необратимо измененного и жизнеспособного миокарда. Клиническое значение этого феномена на сегодняшний день практически не изучено. С помощью МРТ с контрастом можно детально оценить структуру миокарда. Детальный анализ структурных нарушений миокарда после ИМ в динамике с помощью МРТ с учетом клинических особенностей больного, локализации ИМ, времени проведения реперфузионной терапии и т.д., представляется очень актуальным.

### **Цель исследования:**

Изучить динамику структурных изменений у больных с острым инфарктом миокарда с подъемом сегмента ST по данным контрастной магнитно-резонансной томографии и их взаимосвязь с клиническим течением и прогнозом заболевания.

### **Задачи исследования**

1. Провести количественную оценку структуры повреждения миокарда желудочков у больных с острым инфарктом миокарда с подъемом сегмента ST с помощью контрастной магнитно-резонансной томографии в зависимости от времени проведения реперфузионной терапии, размера, локализации инфаркта миокарда, клинических особенностей больного в острый период заболевания (до 7 суток) и через 12 месяцев.
2. Сопоставить результаты количественной оценки повреждения миокарда (размер инфаркта, размер очагов микрососудистой обструкции и гетерогенной зоны) у больных с острым инфарктом миокарда с подъемом сегмента ST с ремоделированием левого желудочка через 12 месяцев от начала заболевания.
3. Изучить влияние оцениваемых показателей на развитие значимых сердечно-сосудистых событий, таких как острый коронарный синдром, инсульт, проведение внеплановой реваскуляризации миокарда, и клиническое течение инфаркта (появление признаков сердечной недостаточности, нарушений ритма сердца, смерть от всех причин) по данным проспективного наблюдения в течение одного года.
4. Определить факторы, ассоциирующиеся с неблагоприятными характеристиками острого инфаркта миокарда с подъемом сегмента ST по данным магнитно-резонансной томографии: увеличение размера инфаркта, гетерогенной зоны, появление очагов микрососудистой обструкции.

### **Научная новизна**

- Впервые на основании контрастной МРТ произведена количественная оценка структуры повреждения миокарда желудочков у больных с ОИМпСТ с учетом сроков проведения реперфузионной терапии, размера, локализации ИМ, клинических особенностей больного в острый период заболевания (до 7 суток) и

через 12 месяцев; оценка динамики формирования и структуры рубца; оценка жизнеспособности миокарда по данным контрастной МРТ.

- Впервые проведен анализ влияния гетерогенной структуры рубца по данным МРТ на развитие значимых сердечно-сосудистых осложнений и клиническое течение заболевания по данным проспективного наблюдения в течение одного года.

### **Практическая значимость**

По результатам исследования сформулирован и внедрен в клиническую практику оптимальный протокол проведения МР-томографии для детальной оценки состояния постинфарктного повреждения миокарда для уточнения клинического течения и прогноза заболевания.

### **Положения, выносимые на защиту**

- Размеры инфаркта, микрососудистой обструкции и гетерогенной зоны у больных с острым инфарктом миокарда с подъемом сегмента ST связаны с клиническим течением и прогнозом заболевания.
- Количественная оценка структуры повреждения миокарда желудочков у больных с острым инфарктом миокарда с подъемом сегмента ST с помощью контрастной магнитно-резонансной томографии наиболее целесообразна у больных с увеличенным временем до проведения реперфузионной терапии и передней локализацией инфаркта миокарда.

### **Внедрение результатов исследования**

Основные результаты исследования внедрены в практику отдела неотложной кардиологии и отдела томографии НИИ клинической кардиологии им. А.Л. Мясникова ФГБУ «НМИЦ кардиологии» Минздрава России. Внедрение осуществлялось в форме разработки алгоритма обследования больных с исходным диагнозом «острый коронарный синдром с подъемом сегмента ST».

### **Апробация результатов**

Апробация диссертационной работы состоялась на совместной научной межотделенческой конференции НИИ клинической кардиологии им. А.Л. Мясникова ФГБУ «Национальный медицинский исследовательский центр кардиологии» Минздрава России 20 августа 2021 года (протокол № 79). Диссертация рекомендована к защите.

## **Публикации**

По теме диссертации опубликовано 3 печатные научные работы в научных журналах, рекомендованных Высшей аттестационной комиссией министерства образования и науки Российской Федерации, выполнено 2 постерных доклада на конгрессах европейского общества кардиологов (Euro CMR 2021, ESC congress 2021 – The Digital Experience).

## **Структура и объем диссертации**

Диссертация изложена на 116 страницах, состоит из введения, четырех глав (обзор литературы, материалы и методы, результаты и их обсуждение), выводов, практических рекомендаций и списка литературы, включающего 179 источников. Диссертация иллюстрирована 11 таблицами, 42 рисунками и двумя клиническими примерами.

## **Личный вклад автора в получение результатов исследования**

Автор проводил сбор и анализ литературы по теме исследования, курировал пациентов, принимал непосредственное участие в проведении МРТ сердца и оценке полученных результатов, проводил тканевой анализ с оценкой размера инфаркта, размера очагов микрососудистой обструкции, размера гетерогенной зоны. Автор составлял общую базу данных, принимал участие в статистической обработке полученных результатов. Автор лично написал все разделы диссертации, подготовил печатные работы и устные сообщения.

## **СОДЕРЖАНИЕ ДИССЕРТАЦИИ**

### **Материалы и методы**

Работа проведена на базе отдела неотложной кардиологии и отдела томографии Института клинической кардиологии им. А.Л. Мясникова ФГБУ НМИЦ кардиологии Министерства здравоохранения Российской Федерации.

В исследование в период с ноября 2018г по август 2019г были включены 50 больных с ИМпST не позднее 48ч от начала заболевания. 7 человек в последующем отказались от участия в исследовании в связи с неблагоприятной эпидемиологической обстановкой/заболеванием средне-тяжелой формой COVID 19. 4 человека умерли в течение года (1 случай ВСС, у троих причиной смерти указана новая коронавирусная инфекция COVID 19). Первую и вторую точку исследования всего прошли 35 больных.

Средний возраст пациентов составил 57.2 лет, медианный возраст – 58.0 (52.5–64.0) лет. 76,9% пациентов были мужчинами в возрасте 55.5 (8.4) лет [56.5 (50.0–62.8) лет], возраст женщин, включенных в исследование, составил 62.9 лет [64.0 (55.0–67.0) лет] ( $p = 0.047$ ). Полная клиническая характеристика больных представлена в таблице 1.

Таблица 1 – Характеристика когорты пациентов.

мужской пол, n (%)		30/39 (76.9%)
средний возраст		57.2 (8.9),
медианный возраст		58.0 (52.5–64.0)
активные курильщики, n (%)		25/39 (64.1%)
гипертоническая болезнь, n (%)		29/39 (74.4%)
ожирение (ИМТ >30кг\м <sup>2</sup> ), n (%)		16/39 (41.0%)
отягощенный семейный анамнез (ИБС у родственников 1-й линии: мужчины до 55 лет, женщины до 60 лет), n (%)		2/39 (5.1%)
сахарный диабет 2 типа, n (%)		7/39 (17.9%)
отсутствие анамнеза ИБС, n (%)		26/39 (66.6%)
пЧКВ < 3ч от начала болевого синдрома		24/39 (61.5%)
ИСА	ПНА, n (%)	21/39 (53.8%)
	ПКА, n (%)	13/39 (34.2%)
	ОА, n (%)	13/39 (34.2%)
состояние ИСА	полная окклюзия (%)	21/39 (53.8%)
	проходимая ИСА (%)	13/39 (34.2%)

Критерии включения в исследование: острый инфаркт миокарда с подъемом сегмента ST, сроки: первые 48 часов от начала симптомов, согласие на участие в исследовании.

Критерии невключения в исследование: инфаркт миокарда в анамнезе, сроки >48ч от начала заболевания, тяжелые сопутствующие заболевания, самостоятельно влияющие на прогноз; противопоказания к выполнению контрастной МРТ.

Диагноз ИМ устанавливали согласно Четвертому Универсальному определению ИМ. Для острого ИМпСТ использованы ЭКГ критерии, приведенные в рекомендациях европейского общества кардиологов от 2017 года: новые подъемы сегмента ST в точке J в двух смежных отведениях  $\geq 2.5$  мм у мужчин  $< 40$  лет,  $\geq 2$  мм у мужчин  $\geq 40$  лет;  $\geq 1.5$  мм у женщин в отведениях V2 -V3 и/или  $\geq 1$  мм в других отведениях; в случае заднего ИМ подъем сегмента ST должен составлять  $\geq 0.5$  мм в отведениях V7-V9. При блокаде левой ножки пучка Гиса и ритме желудочкового ЭКС: конкордантная элевация сегмента ST  $\geq 1$  мм в отведениях с положительным комплексом QRS, конкордантная депрессия сегмента ST  $\geq 1$  мм в отведениях V1-V3, дискордантная элевация сегмента ST  $\geq 5$  мм в отведениях с отрицательным комплексом QRS.

Всем больным в экстренном порядке проводилась коронарная ангиография (КАГ) и пЧКВ на ИСА. За время госпитализации все пациенты проходили стандартное клинико-инструментальное обследование, включающее клинические и биохимические анализы крови, ЭКГ, ЭХО-КГ, холтеровское мониторирование и другие исследования, необходимые для определения дальнейшей тактики и лечения каждого больного.

На 3-7е сутки выполнялась МРТ сердца с контрастированием с помощью сверхпроводящего МР-томографа с напряженностью магнитного поля 1.5 Тл (Siemens Avanto). Бесконтрастная часть включала: кино МРТ в стандартных проекциях (2- и 4-камерная длинные оси, короткая ось ЛЖ) с оценкой КДО ЛЖ, КСО ЛЖ, ФВ, оценкой нарушений локальной сократимости в 17 сегментах ЛЖ; T2-взвешенные изображения в тех же проекциях для оценки отека миокарда (расценивался как повышение ИС более чем в 2 раза по сравнению с неповрежденным миокардом).

Для проведения контрастной части использовался гадолиний-содержащий контрастный препарат (Магневист) в дозе 0.15 ммоль/кг веса больного. Контрастная часть включала: раннее контрастирование (через 2 минуты после внутривенного введения контрастного препарата); отсроченное контрастирование (через 10-20 минут после внутривенного введения контрастного препарата). Участки, накопившие контрастный препарат, расценивались как зоны острого или хронического повреждения миокарда (в зависимости от наличия отека по данным T2-взвешенных изображений). Зоны сниженной интенсивности МР-сигнала, расположенные внутри области, накопившей контрастный

препарат расценивались как МСО. Область с интенсивностью сигнала 25-50% от зоны, накопившей контрастное вещество, расценивались как гетерогенная зона.

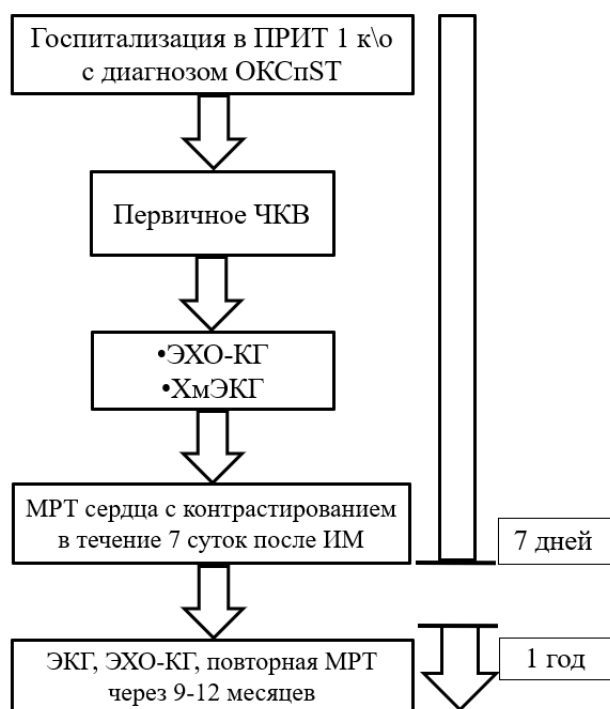
Для проведения тканевого анализа изображений использовалась программа CVI-42 (circle cardiovascular imaging). Оценивались размер ИМ, МСО, гетерогенная зона, ФВЛЖ. На основе анализа интенсивности МР-сигнала в зоне повреждения выделялась доля некроза (более 5 стандартных отклонений в сравнении с неповрежденным миокардом) и гетерогенная зона (от 2 до 5 стандартных отклонений). Проводилась количественная оценка массы некроза и гетерогенной зоны и доля их относительно массы миокарда ЛЖ.

Все пациенты находились на стандартной двойной антиагрегантной терапии (ацетилсалициловая кислота в дозе 75-150 мг в сутки и клопидогрел в дозе 75 мг в сутки либо тикагрелор 90мг 2 раза в сутки). После проведения реваскуляризации каждому пациенту был рекомендован постоянный прием аспирина в дозе 75-100 мг, клопидогрел 75 мг в сутки либо тикагрелор 90мг 2 раза в сутки в течение 12 месяцев. Также стандартная терапия включала ингибиторы ангиотензин превращающего фермента, бета-адреноблокаторы, статины, при наличии признаков сердечной недостаточности к терапии добавлялись петлевые и калий сберегающие диуретики.

Неблагоприятные события регистрировали во время госпитализации, а также в течение 12 месяцев после госпитализации. В случае неблагоприятных сердечно-сосудистых событий (смерть по кардиальным причинам, нефатальный ИМ, госпитализация по поводу обострения ИБС и развитие хронической сердечной недостаточности, незапланированная реваскуляризация, ишемический инсульт) собиралась информация о госпитализациях, выполненных коронарографиях и патологоанатомической экспертизе. Через 12 месяцев проводилась оценка прогноза на основании развития данных сердечно-сосудистых осложнений.

Согласно актуальным клиническим рекомендациям наличие ХСН у больного, перенесшего ИМ, определялось наличием клинических симптомов (одышка, повышенная утомляемость, отеки голеней и стоп) и признаков (повышение давления в яремных венах, хрипы в легких, наличие венозного застоя в легких по данным рентгенографии в сочетании с повышением уровня мозгового натрийуретического пептида ( $BNP > 35$  пг/мл)). Дизайн исследования представлен на Рисунке 1.

Рисунок 1 – Дизайн исследования.



Комбинированная конечная точка исследования включала общую смертность, нефатальный ИМ, развитие ХСН, госпитализация по поводу обострения ИБС и декомпенсации сердечной недостаточности, незапланированная реваскуляризация, ишемический инсульт.

### Статистический анализ

Статистический анализ и визуализация полученных данных проводилась с использованием среды для статистических вычислений R 4.1.0 (R Foundation for Statistical Computing, Вена, Австрия).

Описательные статистики для количественных переменных представлены в виде среднего (стандартное отклонение) и медианы (1–3 квантили), для качественных – в виде относительных частот.

Для изучения связи категориальных переменных использовался точный тест Фишера, ассоциацию считали статистически значимой при  $p < 0.05$ . Для оценки размера эффекта качественных и количественных предикторов в отношении бинарных исходов использовалось отношение шансов с соответствующим 95% доверительным интервалом. Для оценки дискриминативной способности количественных предикторов в отношении

бинарных исходов проводился ROC-анализ с оценкой AUC (с 95% доверительным интервалом), также оценивалось оптимальное пороговое значение предиктора с использованием минимальной J-статистики Юдена. Диагностические характеристики предикторов оценивались с использованием чувствительности и специфичности (с соответствующими точными 95% доверительными интервалами).

Для сравнения количественных переменных между группами пациентов использовался тест Манна-Уитни, для сравнения связанных выборок – тест Уилкоксона, различия считали статистически значимыми при  $p < 0.05$ . Для оценки взаимосвязи между количественными переменными использовался коэффициент ранговой корреляции ( $\rho$ ) Спирмена с соответствующим 95% доверительным интервалом.

### **Результаты исследования и их обсуждение**

При анализе клинических факторов риска возникновения МСО была выявлена статистически значимая взаимосвязь между развитием МСО и наличием сахарного диабета 2 типа (ОР 1.9 ДИ 1.1-3.26,  $p=0.012$ ).

При анализе влияния МР-характеристик ОИМ на риск развития МСО – была выявлена статистически значимая взаимосвязь между развитием МСО и размером инфаркта (ОР 2.81, ДИ 1.38-5.72,  $p=0.0004$ ). При построении ROC-кривой значение размера ИМ, при котором возрастал риск развития МСО составил 18.8% (чувствительность 79.3%, специфичность 69.6%).

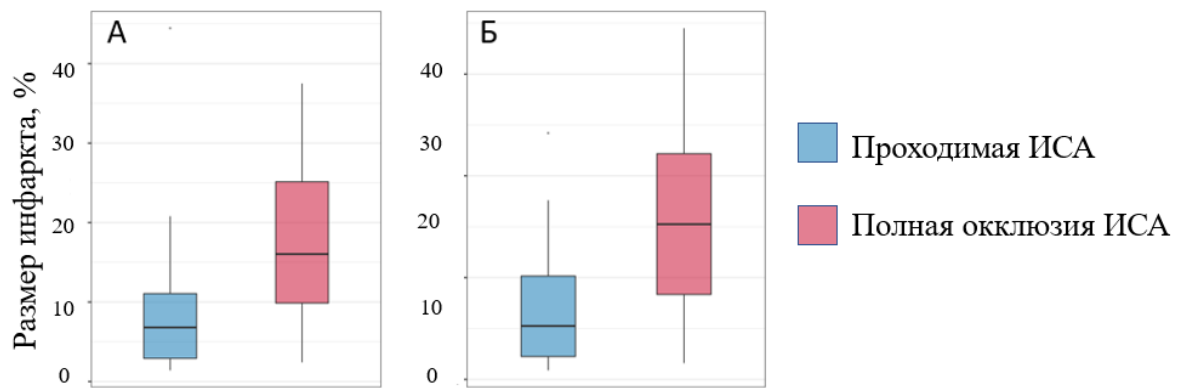
При анализе количественных клинических характеристик пациентов статистически значимой взаимосвязи между размером гетерогенной зоны и основными клиническими характеристиками пациентов выявлено не было. Была выявлена статистически достоверная связь между величиной гетерогенной зоны в остром периоде ИМ и увеличением возраста пациентов ( $\rho=0.544$ ,  $p<0.0001$ ).

Пациенты были разделены на две группы в зависимости от медианы проведения реперфузионной терапии (3ч). В первую группу входили пациенты, у которых пЧКВ было проведено  $\geq 3$ ч от начала симптомов, во вторую – пациенты, у которых реваскуляризация осуществлялась  $< 3$ ч от начала симптомов. В обеих группах ФВ по данным МРТ достоверно не отличалась ( $49.0 \pm 11.0\%$ , в группе, где пЧКВ проводилось  $\geq 3$ ч от начала симптомов;  $45.7 \pm 10.5\%$  в группе более ранней реваскуляризации,

$p=0.2$ ). Размер инфаркта, по данным МРТ, был достоверно больше в группе, где пЧКВ выполнялось  $\geq 3$ ч от начала симптомов, и составил  $18.1 \pm 1.7\%$  от массы ЛЖ по сравнению с группой с более ранней реваскуляризации ( $10.9 \pm 1.9\%$ ,  $p=0.009$ ). Размер МСО также был больше в группе более позднего проведения пЧКВ ( $2.6 \pm 0.64\%$  vs  $0.03 \pm 0.3\%$  в группе ранней реваскуляризации,  $p=0,027$ ). Достоверной взаимосвязи между временем проведения пЧКВ и размером гетерогенной зоны выявлено не было.

Пациенты с полной окклюзией ИСА имели статистически значимо больший размер ИМ при первичном ( $18.6 \pm 9.9\%$ ) и повторном ( $15.8 \pm 8.7\%$ ) исследовании по сравнению с пациентами с проходимой ИСА ( $10.3 \pm 10.7\%$  и  $7.4 \pm 6.5\%$ ),  $p = 0.0044$  и  $p = 0.0035$  соответственно (рисунок 2).

Рисунок 2 – Взаимосвязь размера ИМ и проходимости ИСА



Примечания: А – острый период ИМ. Б – при исследовании через 1 год.

Также пациенты с полной окклюзией ИСА статистически значимо чаще имели МСО при первичном ( $77.3\%$  против  $23.5\%$ ,  $p = 0.0013$ ) и повторном ( $33.3\%$  против  $0\%$ ,  $p = 0.0198$ ) исследовании, при этом статистически значимых различий в отношении размера гетерогенной зоны между группами пациентов с неполной и полной окклюзией ИСА выявлено не было как при первичном ( $19.6 \pm 6.1\%$  против  $19.3 \pm 7.3\%$ ,  $p = 0.6933$ ) так и при повторном ( $16.7 \pm 6.4\%$ ) против проходимой ИСА.

При анализе взаимосвязи размера ИМ и инфаркт-связанной артерии поражение ПНА по сравнению с ПКА и ОА (правой коронарной артерии и огибающей артерии) ассоциировалось с увеличением размера ИМ ( $p=0.02$ ).

Концентрация BNP при первичном исследовании была статистически значимо ассоциирована с размером ИМ при первичном ( $p = 0.63$ , 95% ДИ:  $0.35 - 0.81$ ,  $p = 0.0002$ ) и повторном ( $p = 0.44$ , 95% ДИ:  $0.05 - 0.71$ ,  $p = 0.0294$ ) исследовании, размером

гетерогенной при первичном ( $\rho = 0.56$ , 95% ДИ: 0.25 – 0.77,  $p = 0.0018$ ) и повторном ( $\rho = 0.43$ , 95% ДИ: 0.03 – 0.71,  $p = 0.0369$ ) исследовании. Концентрация BNP при первичном исследовании не была статистически значимо ассоциирована с МСО при первичном (ОШ = 1.000, 95% ДИ: 0.998 – 1.002,  $p = 0.8855$ ) и повторном ( $\rho = 0.28$ , 95% ДИ: -0.13 – 0.61,  $p = 0.1781$ ) исследовании.

Уровень С-РБ при первичном исследовании был статистически значимо ассоциирован с размером гетерогенной зоны при первичном ( $\rho = 0.51$  (95% ДИ: 0.14 – 0.75,  $p = 0.0099$ )) исследовании, но при этом не был ассоциирован с размером гетерогенной зоны ( $\rho = 0.11$ , 95% ДИ: -0.34 – 0.51,  $p = 0.6491$ )) при повторном исследовании. Уровень С-РБ при повторном исследовании был ассоциирован с фракцией выброса при повторном исследовании ( $\rho = 0.36$  (95% ДИ: 0.00 – 0.64,  $p = 0.0477$ )).

В течение периода наблюдения у 20 (53.8%) больных отмечался комбинированный исход (рисунок 3). У 15 человек (38.5%) отмечалось развитие начальных признаков ХСН. 8 больным (20.5%) потребовалось проведение внеплановой реваскуляризации. У 2 (5.1%) отмечалось развитие ОНМК, у троих (7.7%) - повторного ИМ. У 4 пациентов (10.3%) отмечалось развитие летального исхода.

Рисунок 3 – Частота исходов через 1 год после госпитализации

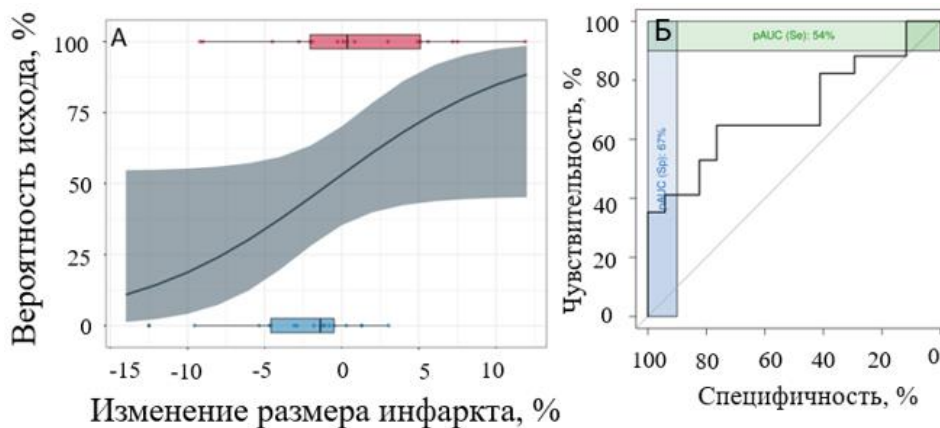


При анализе динамики МРТ-характеристик инфаркта миокарда за период наблюдения нами не было обнаружено статистически значимых изменений размера инфаркта ( $p = 0.3258$ ). Обращало на себя внимание большие межиндивидуальные различия динамики размера ИМ: у некоторых пациентов отмечается выраженное уменьшение размеров, у других – увеличение.

При сравнительном анализе изменений среди пациентов, у которых развивалась комбинированная конечная точка, было выявлено увеличение либо менее выраженное

уменьшение размера инфаркта ( $1.0 \pm 5.7\%$ ) по сравнению с пациентами без исхода ( $-2.6 \pm 3.9\%$ ) (рисунок 4А). Увеличение размера ИМ было ассоциировано с риском развития комбинированной точки (ОШ = 1.17 (95% ДИ: 1.01-1.42,  $p = 0.0586$ ), при этом изменение размера инфаркта обладало статистически значимой дискриминативной способностью (рисунок 4Б) в отношении комбинированного исхода: AUC = 0.70 (95% ДИ: 0.52-0.88).

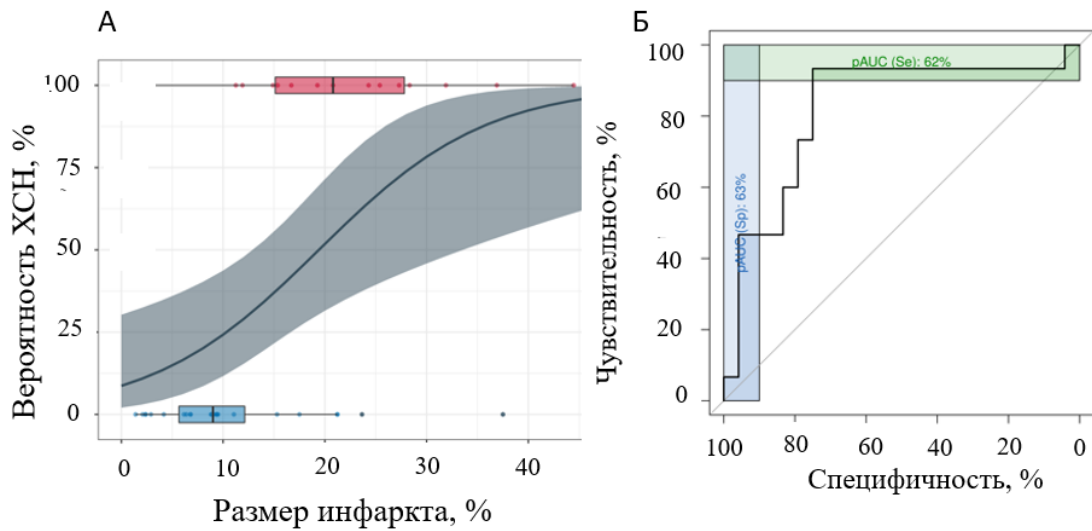
Рисунок 4 – Влияние динамики размера ИМ в течение 1 года на комбинированный исход



Примечания: А – Вероятность развития комбинированного исхода в зависимости от изменений размера инфаркта. Б – Результаты ROC-анализа изменений размера инфаркта в отношении вероятности развития комбинированного исхода.

Пациенты с ХСН через 1 год после включения в исследование характеризовались большим размером ИМ при первичном исследовании ( $22.0 \pm 10.9\%$ ) по сравнению с пациентами без ХСН ( $10.6 \pm 8.5\%$ ). Увеличение размера инфаркта миокарда было статистически значимо ассоциировано с риском развития ХСН (рисунок 5А): ОШ = 1.17 (95% ДИ: 1.01-1.42,  $p = 0.0586$ ), при этом размер инфаркта обладал статистически значимой дискриминативной способностью в отношении развития ХСН: AUC = 0.82 (95% ДИ: 0.67-0.97). Пороговое значение для размера инфаркта, определенное с использованием J-статистики Юдена (11.2%) характеризовалось 93.3% чувствительностью и 75,0% специфичностью (рисунок 5Б).

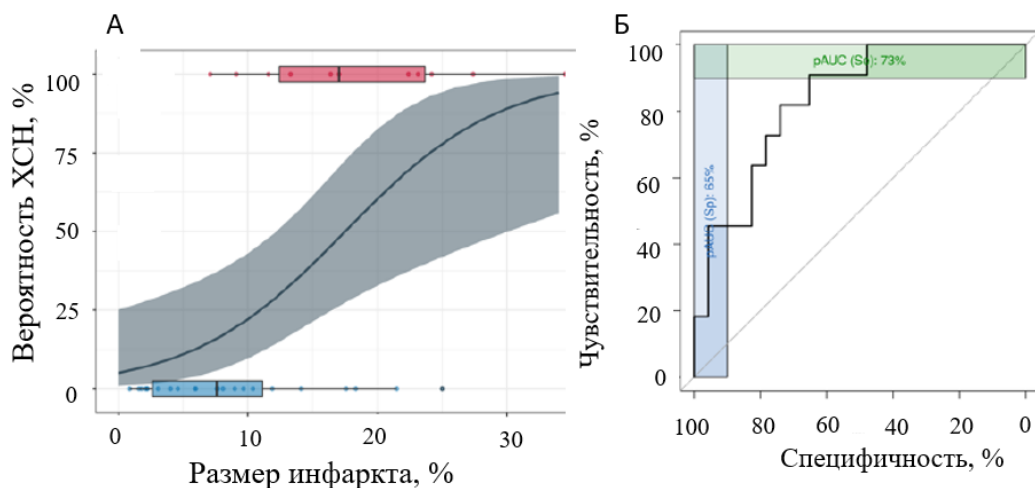
Рисунок 5 – Влияние размера острого ИМ на развитие ХСН в течение 1 года



Примечания: А – Вероятность развития ХСН в зависимости от размера острого ИМ. Б – Результаты ROC-анализа.

Пациенты с ХСН через 1 год после включения в исследование также характеризовались большим размером ИМ и при повторном исследовании ( $18.7\% \pm 8.4$ ) по сравнению с пациентами без ХСН ( $8.5 \pm 6.8\%$ ). Увеличение размера инфаркта миокарда при повторном исследовании было статистически значимо ассоциировано с риском достижения комбинированной конечной точки (рисунок 6А): ОШ = 1.18 (95% ДИ: 1.07-1.36,  $p = 0.0054$ ), при этом размер инфаркта при повторном исследовании обладал статистически значимой дискриминативной способностью в отношении развития ХСН: AUC = 0.83, 95% ДИ: 0.70 – 0.97). Пороговое значение для размера инфаркта (9.1%) характеризовалось 90.9% чувствительностью и 65.2% специфичностью (рисунок 6Б).

Рисунок 6 – Влияние размера ИМ при исследовании через 1 год на развитие ХСН в течение 1 года



Примечания: А – Вероятность развития ХСН в зависимости от размера зоны рубца.  
Б – Результаты ROC-анализа.

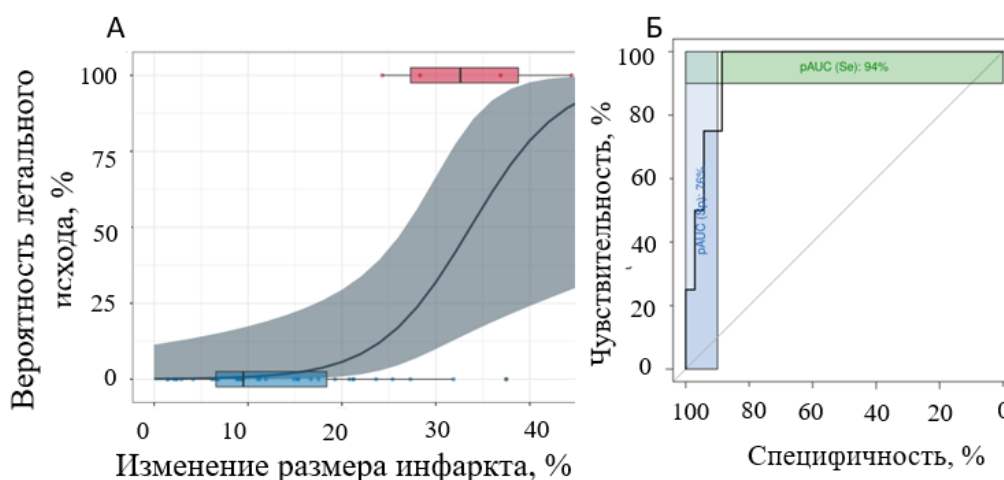
Была выявлена статистически значимая прямая корреляция между размером острого ИМ и КДО ЛЖ при первичном и повторном исследовании:  $\rho = 0.42$  (95% ДИ: 0.12 – 0.65,  $p = 0.0085$ ) и  $\rho = 0.37$  (95% ДИ: 0.03 – 0.63,  $p = 0.033$ ).

Размер инфаркта также статистически значимо коррелировал с КДО ЛЖ при исследовании через год после инфаркта:  $\rho = 0.37$  (95% ДИ: 0.04 – 0.63,  $p = 0.0309$ ).

Была выявлена статистически значимая обратная корреляция между фракцией выброса при первичном и повторном исследовании и размером инфаркта в остром периоде:  $\rho = -0.69$  (95% ДИ: -0.83 – -0.47,  $p < 0.0001$ ) и  $\rho = -0.68$  (95% ДИ: -0.83 – -0.44,  $p < 0.0001$ ).

Пациенты, у которых развился летальный исход в течение 1 года после включения в исследование, имели существенно больший размер ИМ и при первичном исследовании ( $33.5 \pm 9.0\%$ ) по сравнению с пациентами, пережившими 1-летний период ( $12.8 \pm 9.0\%$ ). Увеличение размера ИМ при первичном исследовании было статистически значимо ассоциировано с риском летального исхода (рисунок 7А): ОШ = 1.23 (95% ДИ: 1.08 – 1.54,  $p = 0.0155$ ), при этом размер инфаркта обладал статистически значимой дискриминативной способностью в отношении данного исхода: AUC = 0.95, 95% ДИ: 0.88 – 1.00). Пороговое значение для размера инфаркта (24%) характеризовалось 100.0% чувствительностью и 88.6% специфичностью (рисунок 7Б).

Рисунок 7 – Влияние размера острого ИМ на вероятность развития летального исхода



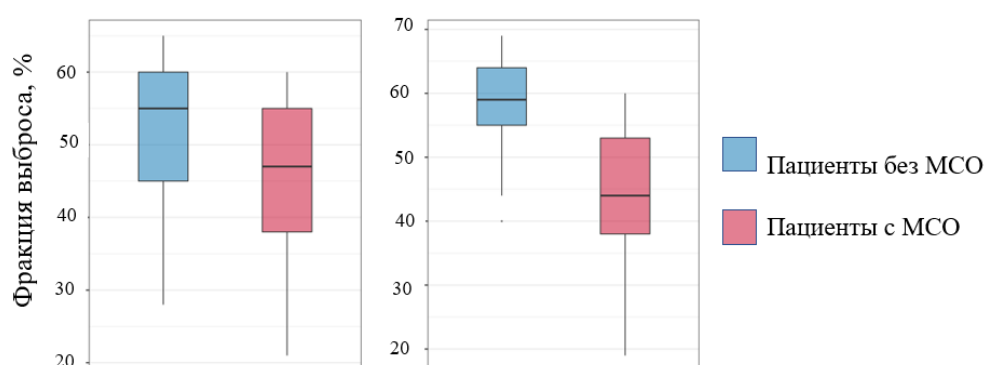
Примечания: А – Вероятность развития летального исхода в зависимости от размера инфаркта в остром периоде. Б – Результаты ROC-анализа.

У 53.8% пациентов была выявлена МСО в остром периоде ИМ. Средние ее значения составляли 0.1% от массы миокарда ЛЖ. При повторном исследовании МСО сохранялась у 17.6% пациентов. У пациентов, у которых МСО сохранялась при исследовании через год, отмечалось уменьшение зоны МСО на 1.2 ( $\pm 2.5\%$ ),  $p = 0.0012$ . Достоверной взаимосвязи между сохранением МСО через год и частотой комбинированной конечной точки выявлено не было.

В ходе анализа зависимости риска развития ХСН от наличия МСО была выявлена тенденция ( $p = 0.0978$ ) к более высокой частоте ХСН через 1 год после первичного исследования среди пациентов с МСО (52.4%), по сравнению с пациентами, у которых МСО выявлена не была (22.2%). Отношение шансов развития ХСН при МСО составило 3.85 (95% ДИ: 1.00 – 17.31).

Несмотря на отсутствие достоверных взаимосвязей с развитием ХСН, пациенты с МСО имели статистически значимо меньшую фракцию выброса в остром периоде инфаркта ( $44.1 \pm 10.6\%$ ) по сравнению с пациентами без МСО ( $52.9 \pm 10.5\%$ ),  $p = 0.0209$  (рисунок 8А). Также пациенты с МСО имели статистически значимо меньшую фракцию выброса при повторном исследовании через год ( $44.8 \pm 11.1\%$ ) по сравнению с пациентами без МСО ( $58.9 \pm 8.0\%$ ),  $p = 0.0004$  (рисунок 8Б).

Рисунок 8 – Влияние наличия МСО на величину ФВЛЖ



Примечания: А – Фракция выброса при первичном исследовании в зависимости от наличия МСО. Б – При исследовании через 12 месяцев

Была выявлена статистически значимая обратная корреляция между фракцией выброса при первичном и повторном исследовании и размером МСО при первичном

исследовании:  $\rho = -0.42$  (95% ДИ:  $-0.66 - -0.12$ ,  $p = 0.008$ ) и  $\rho = -0.61$  (95% ДИ:  $-0.78 - -0.34$ ,  $p = 0.0001$ ). Также была выявлена статистически значимая обратная корреляция между фракцией выброса при повторном исследовании и размером МСО при повторном исследовании:  $\rho = -0.40$  (95% ДИ:  $-0.65 - -0.07$ ,  $p = 0.0205$ ).

У пациентов с наличием МСО в остром периоде инфаркта наблюдалась несколько более высокая частота развития летального исхода (14.3%) по сравнению с пациентами без МСО (5.6%), однако данная ассоциация не была статистически значимой (ОШ = 2.83 (95% ДИ: 0.33 – 60.42),  $p = 0.6094$ ).

Достоверных взаимосвязей между наличием МСО и патологическим ремоделированием выявлено не было ( $p = 0.7283$ ). Однако, была выявлена статистически значимая прямая корреляция между размером МСО в остром периоде инфаркта и КДО ЛЖ при обследовании через год,  $\rho = 0.35$  (95% ДИ: 0.02 – 0.62,  $p = 0.0409$ ).

Развитие аневризмы левого желудочка зарегистрировано у 40% пациентов с наличием МСО при первичном исследовании и не зарегистрировано среди пациентов без МСО ( $p = 0.0039$ ).

#### *Взаимосвязь размера гетерогенной зоны и прогноза больных с ИМnST*

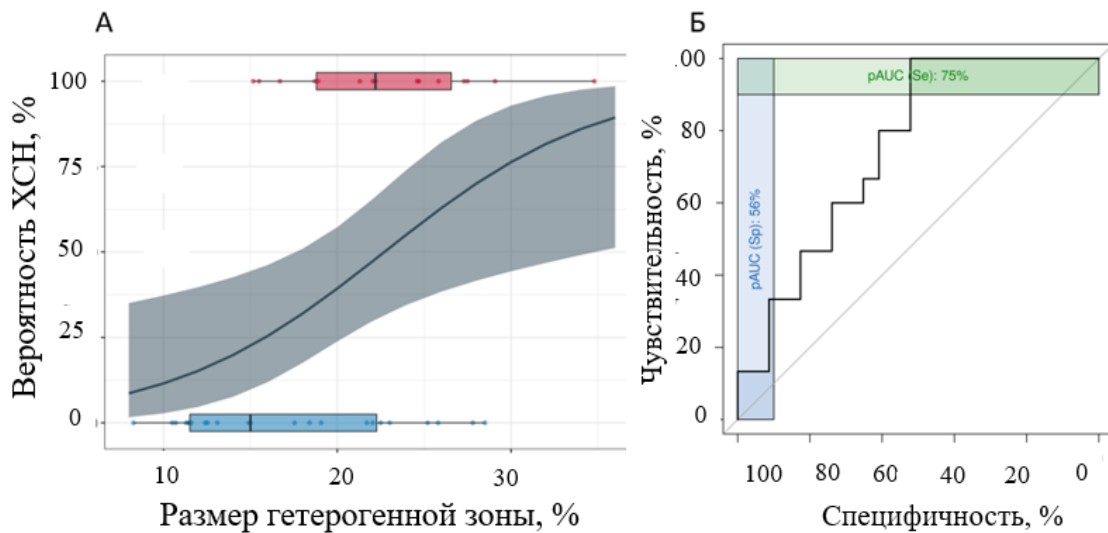
Были проанализированы изменения размера гетерогенной зоны у пациентов в остром периоде ИМ и при исследовании через 12 месяцев. В среднем размер гетерогенной зоны в остром периоде ИМ и по окончании периода наблюдения составлял 19.4% и 16.0% от массы ЛЖ соответственно. Были обнаружены статистически значимые изменения размера гетерогенной зоны ( $p = 0.007$ ): наблюдалось уменьшение гетерогенной зоны на  $(-3.0 \pm 5.7\%)$ .

У пациентов, достигших комбинированной конечной точки, наблюдалось менее выраженное уменьшение гетерогенной зоны  $(-1.4 \pm 6.5\%)$  по сравнению с пациентами без исходов  $(-4.5 \pm 4.4\%)$ . Меньшие изменения ГЗ также были ассоциированы с риском развитием осложнений, однако ассоциация не была статистически значимой: ОШ = 1.11 (95% ДИ: 0.98 – 1.29,  $p = 0.1191$ ).

Пациенты с ХСН через 1 год после включения в исследование характеризовались большим размером гетерогенной зоны при первичном исследовании  $(23.0 \pm 5.5\%)$  по сравнению с пациентами без ХСН  $(17.2 \pm 6.3\%)$ . Увеличение гетерогенной зоны было статистически значимо ассоциировано с риском развития ХСН (рисунок 10А): ОШ = 1.17

(95% ДИ: 1.05 – 1.35,  $p = 0.0128$ ), при этом размер гетерогенной зоны обладал статистически значимой дискриминативной способностью (рисунок 10Б) в отношении развития ХСН:  $AUC = 0.75$  (95% ДИ: 0.60 – 0.91,  $p=0.0034$ ). Пороговое значение для объема гетерогенной зоны, определенное с использованием J-статистики Юдена (15.1%) характеризовалось 100.0% чувствительностью и 52.2% (30.6–73.2) специфичностью.

Рисунок 10 – Влияние размера гетерогенной зоны на вероятность развития ХСН



Примечания: А – Вероятность развития ХСН в зависимости от размера гетерогенной зоны в остром периоде ИМ. Б – Результаты ROC-анализа.

Пациенты с ХСН через 1 год после включения в исследование также имели больший размер гетерогенной зоны при повторном исследовании ( $19.4 \pm 7.0\%$ ) по сравнению с пациентами без ХСН ( $14.4 \pm 4.8\%$ ) (рисунок 11А). Увеличение размера гетерогенной зоны было статистически значимо ассоциировано с риском развития ХСН ( $ОШ = 1.17$  (95% ДИ: 1.02 – 1.38,  $p = 0.0369$ ); размер гетерогенной зоны обладал статистически значимой дискриминативной способностью в отношении развития ХСН:  $AUC = 0.72$  (95% ДИ: 0.54 – 0.91). Пороговое значение для размера гетерогенной зоны (11.6%) характеризовалось 100.0% чувствительностью и 36.4% специфичностью.

Была выявлена статистически значимая обратная корреляция между фракцией выброса при первичном (рисунок 12) исследовании и размером гетерогенной зоны при первичном исследовании:  $\rho = -0.44$  (95% ДИ: -0.67 – -0.14,  $p = 0.0064$ ). При повторном исследовании фракции выброса ассоциация с размером гетерогенной зоны не была статистически значимой:  $\rho = -0.27$  (95% ДИ: -0.56 – 0.08,  $p = 0.1235$ ).

Пациенты, у которых развился летальный исход в течение 1 года после включения в исследование, имели несколько больший размер гетерогенной зоны ( $24.7 \pm 7.7\%$ ) по сравнению с пациентами, пережившими 1-летний период ( $18.8 \pm 6.3\%$ ). Однако, увеличение гетерогенной зоны в остром периоде ИМ не было статистически значимо ассоциировано с риском летального исхода: ОШ = 1.16 (95% ДИ: 0.98 – 1.46,  $p = 0.1154$ ).

### **Заключение**

По результатам диссертационной работы были выявлены факторы, ассоциировавшиеся с увеличением размера инфаркта, гетерогенной зоны, формирования очагов микрососудистой обструкции. Риск появления очагов микрососудистой обструкции по данным МРТ возрастал у пациентов с ОИМпСТ и наличием в анамнезе сахарного диабета 2 типа и размером ОИМ  $>18.8\%$  от массы миокарда левого желудочка. Увеличение размера гетерогенной зоны коррелировало с увеличением возраста пациентов. Передняя нисходящая артерия в качестве инфаркт-связанной ассоциировалась с увеличением размера ОИМ. Полная окклюзия инфаркт-связанной артерии ассоциировалась с как большим размером инфаркта, так и с большим риском развития микрососудистой обструкции. Увеличение концентрации BNP в остром периоде инфаркта было статистически значимо ассоциировано с размером инфаркта как в остром периоде, так и через 12 месяцев. Концентрация BNP, оценивавшаяся в течение первых трех дней после инфаркта, статистически значимо коррелировала с размером гетерогенной зоны (как в остром периоде, так и при исследовании через год). Уровень С-реактивного белка при первичном поступлении пациентов был статистически значимо ассоциирован с размером гетерогенной зоны в остром периоде инфаркта миокарда.

Были определены факторы, ассоциировавшиеся с ухудшением прогноза больных с ОИМпСТ по результатам годичного наблюдения. Увеличение размера инфаркта в течение года было ассоциировано с риском развития комбинированного исхода. Большой размер инфаркта как в остром периоде, так и через год был ассоциирован с увеличением риска развития ХСН. Размер ОИМ  $\geq 11.2\%$  был ассоциирован с выявлением начальных признаков ХСН через год после ОИМ. Размер ОИМ  $\geq 24\%$  от массы левого желудочка достоверно ассоциировался со смертностью от всех причин. Увеличение размера гетерогенной зоны в остром периоде инфаркта было статистически значимо ассоциировано с риском развития ХСН. Размер гетерогенной зоны  $\geq 15.1\%$

ассоциировался с риском развития ХСН. Развитие аневризмы левого желудочка отмечалось у 40% пациентов с наличием микрососудистой обструкции при первичном исследовании и не зарегистрировано среди пациентов без микрососудистой обструкции ( $p=0.0039$ ).

### Выводы

1. Размер ОИМ при проведении пЧКВ  $< 3$  ч от начала симптомов составлял  $10.9 \pm 1.9\%$ , при проведении пЧКВ  $\geq 3$  ч от начала симптомов составлял  $18.1 \pm 1.7\%$ , ( $p=0.009$ ). Размер ОИМ  $\geq 18.8\%$  ассоциировался с риском развития микрососудистой обструкции (ОР 2.81, 95% ДИ 1.38 – 5.72,  $p=0.0004$ ). Поражение передней нисходящей артерии было связано с большим размером ОИМ ( $16.97 \pm 3.3$  vs  $12.05 \pm 1.4$  в группе ОИМ других локализаций,  $p=0.02$ ).

2. Достоверных взаимосвязей между размерами инфаркта, микрососудистой обструкции, гетерогенной зоны и патологическим ремоделированием (увеличение КДО ЛЖ на 13% по данным МРТ) выявлено не было. Однако, была выявлена достоверная корреляционная связь между размером микрососудистой обструкции в остром периоде инфаркта и КДО ЛЖ при обследовании через год,  $\rho = 0.35$  (95% ДИ: 0.02; 0.62,  $p = 0.04$ ). Значения КДО ЛЖ и размер инфаркта достоверно коррелировали как в остром периоде инфаркта, так и при исследовании через 12 месяцев ( $\rho = 0.42$  (95% ДИ: 0.12; 0.65,  $p = 0.0085$ ) и  $\rho = 0.37$  (95% ДИ: 0.03; 0.63,  $p = 0.033$ ) соответственно).

3. Увеличение размера инфаркта в течение года было ассоциировано с риском достижения комбинированной конечной точки. Большой размер инфаркта как в остром периоде, так и при исследовании через год ассоциирован с увеличением риска развития ХСН. Размер ОИМ  $\geq 11.2\%$  был ассоциирован с выявлением начальных признаков ХСН при исследовании через год. При размере ОИМ  $\geq 24\%$  от массы левого желудочка увеличивался риск смерти от всех причин. Увеличение размера гетерогенной зоны в остром периоде инфаркта приводило к возрастанию риска развития ХСН. Размер гетерогенной зоны  $\geq 15.1\%$  являлся пороговым значением в отношении риска развития ХСН через 12 месяцев.

4. Передняя нисходящая артерия в качестве инфаркт-связанной ассоциировалась с большим размером ОИМ. Полная окклюзия инфаркт-связанной артерии ассоциировалась

как большим размером инфаркта, так и с большим риском развития микрососудистой обструкции. Увеличение концентрации BNP в остром периоде инфаркта было связано с увеличением размера инфаркта как в остром периоде, так и при исследовании через 12 месяцев. Концентрация BNP, оценивавшаяся в течение первых трех дней после инфаркта, коррелировала с размером гетерогенной зоны (как в остром периоде, так и при исследовании через год). Уровень С-реактивного белка в течение первых трех дней после инфаркта был ассоциирован с увеличением размера гетерогенной зоны в остром периоде инфаркта.

### **Практические рекомендации**

Пациентам с острым инфарктом миокарда с подъемом сегмента ST (особенно в случае поздней реваскуляризации: пЧКВ > 3ч от начала симптомов, и передней локализации инфаркта) целесообразно выполнять МРТ с контрастированием в динамике – исходно и через год: увеличение размера инфаркта в течение года ассоциировано с риском развития неблагоприятных сердечно-сосудистых событий. Размер ОИМ  $\geq 11.2\%$  связан с выявлением начальных признаков ХСН через год. Размер острого ОИМ  $\geq 24\%$  ассоциирован с риском смерти от всех причин. Если размер гетерогенной зоны превышает 15.1%, увеличивается риск развития ХСН.

### **Список работ, опубликованных по теме диссертации:**

1. Тереничева М.А. Взаимосвязь клинических и лабораторных показателей с развитием прогностически неблагоприятных характеристик инфаркта миокарда с подъемом сегмента ST по данным магнитно-резонансной томографии сердца с контрастированием / Тереничева М.А., Шахнович Р.М., Стукалова О.В. и соавт. // Кардиология. – 2021. – Т.61, №1. – С.44-51.
2. Тереничева М.А. Взаимосвязь структурных изменений миокарда у больных острым инфарктом миокарда с подъемом сегмента ST по данным контрастной МРТ с особенностями коронарного поражения и временем реперфузионной терапии / Тереничева М.А., Шахнович Р.М., Стукалова О.В. и соавт. // REJR. – 2021. – Т.11, №1. – С.114-124.
3. Тереничева М.А. Роль магнитно-резонансной томографии сердца в определении прогноза больных с острым инфарктом миокарда с подъемом сегмента ST. Часть

1. Показания и противопоказания к исследованию. Основные методики / Тереничева М.А., Стукалова О.В., Шахнович Р.М и соавт. // Терапевтический архив. – 2021. – Т.93, №4. – С. 497-501.

### Список сокращений

АСБ – атеросклеротическая бляшка  
ВСС – внезапная сердечная смерть  
ГЗ – гетерогенная зона  
ДИ – доверительный интервал  
ЖТ – желудочковая тахикардия  
ИБС – ишемическая болезнь сердца  
ИМ – инфаркт миокарда  
ИМК – интрамиокардиальное кровоизлияние  
ИМТ – индекс массы тела  
ИКД – имплантируемый кардиовертер-дефибриллятор  
ИС – интенсивность сигнала  
ИСА – инфаркт-связанная артерия  
КАГ – коронароангиография  
КВ – контрастное вещество  
КДО ЛЖ – конечный диастолический объем левого желудочка  
КСО ЛЖ – конечный систолический объем левого желудочка  
ЛЖ – левый желудочек  
МРТ – магнитно-резонансная томография  
МСКТ – мультиспиральная компьютерная томография  
МСО – микрососудистая обструкция  
ОИМпST – острый инфаркт миокарда с подъемом сегмента ST  
ОКС – острый коронарный синдром  
ОНМК – острое нарушение мозгового кровообращения  
ОФЭКТ – однофотонная эмиссионная компьютерная томография  
ОПЦ – отрицательная прогностическая ценность  
ОА – огибающая артерия

ОР – обратное ремоделирование  
ОШ – отношение шансов  
ПЖ – правый желудочек  
ПИКС – постинфарктный кардиосклероз  
ПКА – правая коронарная артерия  
ПНА – передняя нисходящая артерия  
ППЦ – положительная прогностическая ценность  
ПР – патологическое ремоделирование  
ПЭТ – позитронно-эмиссионная томография  
пЧКВ – первичное чрескожное коронарное вмешательство  
СКФ – скорость клубочковой фильтрации  
СН – сердечная недостаточность  
Тл – тесла  
Т2-ВИ – Т2-взвешенные изображения  
ФВЛЖ – фракция выброса левого желудочка  
ФЖ – фибрилляция желудочков  
ФРК – функциональный резерв кровотока  
ХПН – хроническая почечная недостаточность  
ХСН – хроническая сердечная недостаточность  
ЧКВ – чрескожное коронарное вмешательство  
ЭКГ – электрокардиограмма  
ЭКС – электрокардиостимулятор  
ЭХО-кг – эхокардиография  
С-РБ – С-реактивный белок  
BNP – английский: brain natriuretic peptide, русский перевод:  
мозговой натрийуретический пептид  
 $^{99m}\text{Tc}$ -МИБИ -  $^{99m}\text{Tc}$ Технеция-метокси-изобутил изонитрил  
 $^{201}\text{Tl}$ -хлорид -  $^{201}\text{Tl}$ Таллия-хлорид